

# عملکرد لرزه‌یی دیوارهای برشی با تیر همبند فلزی طراحی شده به روش طراحی خمیری براساس (PBPD)

عباس کرم‌الدین (استادیار)

علی زنگنه<sup>\*</sup> (دانشجوی دکتری)

دانشکده‌ی هندسی عمران، دانشگاه فردوسی مشهد

کشورهای مختلف برای طراحی سازه‌ها از آینه‌نامه‌های متفاوتی استفاده می‌کنند. در پیشتر آینه‌نامه‌ها، محاسبه و توزیع برش پایه براساس رفتار خمیری است. این مسئله، رفتار واقعی سازه را تحت اثر زلزله‌های شدید در نظر نمی‌گیرد و ممکن است سازه دچار جابه‌جایی‌های بزرگ و خراشی‌های جبران ناپذیر شود. برای بهبود این مسئله، یک روش جدید، که اثر رفتار خمیری سازه را در محاسبه‌ی برش پایه و توزیع آن در ارتفاع لحاظ می‌کند، استفاده شده است. به این روش، طراحی خمیری براساس عملکرد (PBPD) اطلاق می‌شود. این روش با موافقیت روی تعدادی از سیستم‌های سازه‌یی از جمله سیستم قاب خمیری، سیستم مهاربندی همگرا و اگرا، و سیستم خرپایی ویژه بهکار رفته است. در این نوشتار کاربرد روش PBPD روی دیوار برشی بتی با تیر همبند فلزی توسعه داده شده است. نتایج نشان می‌دهد که در دیوارهای طراحی شده به روش PBPD، مفصل‌های خمیری، جابه‌جایی طبقات، و چرخش خمیری پیوندها به طور یکنواخت‌تر در ارتفاع توزیع می‌شوند.

a-karam@um.ac.ir  
ali\_za63@yahoo.com

وازگان کلیدی: طراحی خمیری براساس عملکرد، دیوار برشی با تیر همبند فلزی، عملکرد لرزه‌یی، مفصل خمیری، برش پایه.

## ۱. مقدمه

ایده‌آل در سیستم مهاربندی واگرای تسلیم برشی یا خمیری پیوند با توجه به طول پیوند و درنهایت، تسلیم خمیری پای ستون طبقه‌ی اول در زلزله‌های شدید است. برای رفع این مشکل روش طراحی خمیری براساس عملکرد (PBPD)<sup>۱</sup> معرفی شده است.<sup>[۱]</sup> در این روش از جابه‌جایی هدف و مکانیزم تسلیم به عنوان پارامترهای عملکردی استفاده می‌شود. مبنای روش PBPD براساس روش انرژی است.<sup>[۲]</sup> مفهوم طراحی موردنظر برای مهاربندهای EBF<sup>۳</sup> اولین بار براساس روش تعادل لنگر پیشنهاد شده است.<sup>[۱]</sup>

روش طراحی خمیری براساس عملکرد برای طراحی قاب‌های خمیری (MRF) بهکارگرفته شده است، که در آن توزیع برش پایه در ارتفاع براساس UBC ۹۷ انجام شده است.<sup>[۱]</sup> با توجه به آنکه روش توزیع خطی بار جانی، اثر مدهای بالاتر را در نظر نگرفته است و توزیع غیریکنواخت برای برش طبقات را به همراه دارد، برای جبران کمبودهای ذکر شده، این روش دوباره بر روی قاب‌های خمیری (MRF) با استفاده از نوعی توزیع نیروی جانی که اثر رفتار غیرخطی را در نظر می‌گیرد، بهکارگرفته شده است.<sup>[۲]</sup> این عمل باعث شده است که تسلیم سازه به صورت یکنواخت‌تر اتفاق افتد. در روش مذکور، توزیع نیروی که براساس تحلیل‌های تاریخچه‌ی زمانی غیرخطی به دست آمده است، به صورت نمایی در نظر گرفته می‌شود. این روش روی قاب‌های مهاربندی واگرای با پیوند افقی نا متقارن (H-EBF)<sup>۴</sup> نیز انجام شده است.<sup>[۱]</sup>

در آینه‌نامه‌های مختلف ضوابطی برای محاسبه‌ی برش پایه ارائه شده است، که در آنها پارامترهای متعددی از جمله: ساختگاه، نوع سیستم سازه‌یی، و کاربری ساختمان تأثیرگذار است. در پیشتر آینه‌نامه‌ها موجود، برای توزیع نیروی برش پایه در ارتفاع از رفتار کشسان استفاده و رفتار غیرکشسان سازه با روش‌های غیرمستقیم در نظر گرفته شده است. در آینه‌نامه‌ها برای رفتار غیرخطی سازه، برش پایه‌ی طراحی (V) با ضربی رفتار (R) کاهش می‌باید. توزیع نیروی زلزله در ارتفاع، عمدتاً براساس مدل اول سازه تعیین می‌شود. شکل پذیری در سازه‌ها از طریق المان‌هایی که در زمان زلزله تسلیم می‌شوند و استهلاک انرژی در سازه‌ها از طریق المان‌هایی که در زمان زلزله تسلیم می‌شوند و استهلاک انرژی را انجام می‌دهند، تأمین می‌شود (به این المان فیوز اطلاق می‌شود). طراحی المان فیوز براساس سطح بارگذاری آینه‌نامه و طراحی سایر عضوها براساس بیشینه‌ی نیروی تولیدشده توسط فیوز صورت می‌گیرد. به این روش طراحی روش طرح ظرفیت گفته می‌شود. در روش مذکور چگونگی و ترتیب تشکیل مفصل‌ها قابل کنترل نیست و اساساً نمی‌تواند یک مکانیزم ایده‌آل، که بیشینه‌ی استهلاک انرژی را خواهد داشت، تعیین کند. برای مثال مکانیزم ایده‌آل در (MRF)<sup>۱</sup>، تسلیم خمیری دو انتهای تیر و پای ستون طبقه‌ی اول و مکانیزم

\* نویسنده مسئول  
تاریخ: دریافت ۴، ۶، ۱۳۹۳، اصلاحیه ۱، ۱۰، پذیرش ۱۴، ۱۰، ۱۳۹۳.

داخلی کشسان باشد.<sup>[۱۲,۱۳]</sup> بر این اساس، رابطه‌ی تعادل انرژی به صورت رابطه‌ی ۱ ترتیب می‌شود:

$$(E_e + E_p) = \gamma \left( \frac{1}{2} M S_v^2 \right) = \frac{1}{2} \gamma M \left( \frac{T}{2\pi} C_e g \right)^2 \quad (1)$$

که در آن،  $E_e, E_p$  به ترتیب جزء خیری و کشسان انرژی موردنیاز برای رساندن سازه به جایگاهی هدف،  $S_v$  سرعت طیف طراحی،  $M$  جرم کل سازه، و  $\gamma$  ضریب اصلاح است. ضریب اصلاح با توجه به شکل ۱ با نوشتن معادله‌ی تعادل ۲ به صورت رابطه‌ی ۳ بدست می‌آید:

$$\gamma \left( \frac{1}{2} C_{eu} W \Delta_{eu} \right) = \frac{1}{2} C_y W (2\Delta_{max} - \Delta_y) \quad (2)$$

$$\gamma = \frac{2\mu_s - 1}{R_\mu} \quad (3)$$

که در آن،  $R_\mu$  ضریب کاهش شکل پذیری و  $\mu_s$  ضریب شکل پذیری سازه‌ی هستند، که از معادله‌های ۴ و ۵ بدست می‌آید:

$$R_\mu = \frac{C_{eu}}{C_y} \quad (4)$$

$$\mu_s = \frac{\theta_u}{\theta_y} \quad (5)$$

انرژی خیری از کار خارجی انجام شده توسط بار جانبی به صورت معادله‌ی ۶ بدست می‌آید:

$$E_p = \sum_{i=1}^n F_i h_h \theta_p \quad (6)$$

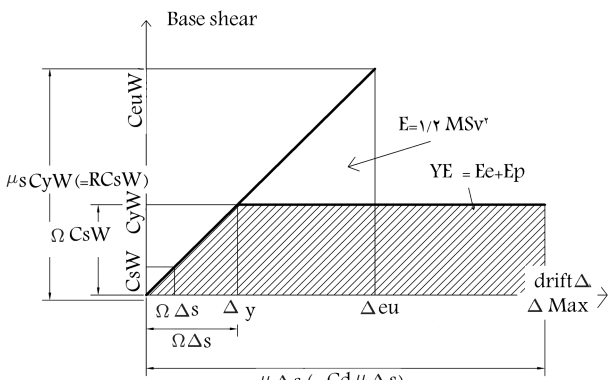
انرژی کشسان با فرض اینکه سازه به یک سیستم یک درجه آزادی کاهش یافته است، به صورت معادله‌ی ۷ ترتیب می‌شود:

$$E_e = \frac{1}{2} M \left( \frac{T}{2\pi} \frac{V}{W} g \right)^2 \quad (7)$$

با قراردادن معادله‌های ۶ و ۷ در معادله‌ی ۱، برش پایه به صورت معادله‌ی ۸ نوشته می‌شود:

$$\frac{V}{W} = \frac{-\alpha + \sqrt{\alpha^2 + 4\gamma S_a^2}}{2} \quad (8)$$

که در آن،  $\alpha$  یک پارامتر بدون بعد است که به سختی سازه و مشخصات مodal و جایگاهی هدف بستگی دارد. با تعیین توزیع برش در ارتفاع و قراردادن آن در



شکل ۱. رفتار ایده‌آل سازه و مفهوم تعادل انرژی.<sup>[۱۳]</sup>

همچنین این روش روی قابهای خمیری خربایی ویه و قابهای مهاربندی همگرا استفاده شده است.<sup>[۱۴]</sup> همه‌ی این پژوهش‌ها تأییدکننده‌ی این مطلب است که در روش مذکور، مکانیزم تسلیم قابل کنترل است و جایگاهی‌ها و چرخش‌های خمیری منظم‌تر در ارتفاع توزیع شده‌اند. اخیراً روش مذکور بر روی مهاربنده‌ای برونو محور با پیوند قائم (V-EBF)<sup>۵</sup> مورد استفاده قرار گرفته است.<sup>[۱۵]</sup> قابهای مهاربندی واگرا با پیوند قائم (V-EBF) کمتر در سیستم‌های ساختمانی مورد استفاده قرار گرفته‌اند، ولی در سال‌های اخیر مطالعات زیادی روی این سیستم صورت گرفته است. علاوه بر داشتن مزیت‌های قابهای H-EBF (شکل پذیری و سختی V-EBF)، امکان تعویض آسان پیوند را در هنگام خرابی در اثر زلزله‌های شدید فراهم می‌کند و تغییرشکل‌های غیرخطی را از تیر حذف می‌کند.<sup>[۱۶]</sup> این امر باعث می‌شود که بدون نیاز به تعویض تیر، فقط با تعویض پیوند بهسازی صورت گیرد.

استفاده از دیوارهای برشی کوبی به دلیل توان جذب انرژی بیشتر مورد توجه ایجاد بازشوها به وجود می‌آورد و همچنین به دلیل توان جذب انرژی بیشتر مورد توجه پژوهشگران مختلف قرار گرفته است. اولین پژوهش آزمایشگاهی بر روی سیستم دیوارهای برشی همبند در سال ۱۹۷۱ انجام شده است.<sup>[۱۷]</sup> که در آن تعدادی مدل دیوار برشی کوبی شده با تیرهای بتنی تحت بارگذاری یکنواخت قرار گرفته‌اند. برخی پژوهشگران نیز در سال ۱۹۷۶ آزمایش‌هایی انجام داده‌اند که نتایج آن حاکی از قابلیت انداز تیر در استهلاک انرژی و زوال شدید مقاومت و سختی تیر در تغییرمکان‌های زیاد بوده و همچنین آزمایش بارگذاری متابول دیگری بر روی نمونه‌ی دیوار برشی ۷ طبقه‌ی کوبی انجام داده‌اند.<sup>[۱۸]</sup> آزمایش بارگذاری لزه‌بی دیگری نیز بر روی نمونه‌ی ۶ طبقه‌ی دیوار برشی کوبی در سال ۱۹۷۷ انجام شده است.<sup>[۱۹]</sup> در پژوهشی در سال ۱۹۹۱ هم رفتار تیر کوبی بتنی با آرماتورگذاری معمولی در حد نهایی مورد بررسی قرار گرفته است.<sup>[۲۰]</sup> در سال ۱۹۹۶ نیز روابطی برای تعیین درجه کوبی‌نگ دیوارهای برشی ۶ تا ۴۰ طبقه ارائه شده است.<sup>[۲۱]</sup> همچنین استفاده از تیرهای کوبی فلزی در سال ۱۹۹۵ با انجام چند آزمایش بارگذاری سیکلی مورد بررسی قرار گرفته است.<sup>[۲۲]</sup>

روش‌های طراحی متعارف دیوارهای برشی کوبی بر مبنای تعیین برش پایه‌ی آین نامه‌ی و تقسیم آن بین دیوارهای برشی و تیرهای کوبی قرار دارد. برش تیرهای کوبی تیر به طور مساوی یا نسبت فرضی دیگری بین تیرها تقسیم و برای اساس تیرها و دیوارها طراحی می‌شوند. در این روش هیچ کنترل مستقیمی بر روی معیارهای عملکردی دیوار از جمله جایگایی نسبی طبقات و مکانیزم تسلیم دیوار وجود ندارد. در این مطالعه، استفاده از روش PBPD بر روی دیوارهای برشی کوبی مورد بررسی قرار گرفته و ضمن انجام رابطه‌سازی‌های لازم نشان داده شده است که استفاده از روش مذکور منجر به طراحی دیوارهایی با عملکرد لزه‌بی مطلوب شده است.

## ۲. مبانی روش طراحی خمیری براساس عملکرد (PBPD)

جایگاهی هدف و مکانیزم تسلیم از معیارهای عملکردی در روش PBPD هستند. برش طراحی براساس رابطه‌ی تعادل بین کار موردنیاز برای ایجاد تغییرمکان یکنواخت سازه تا رسیدن به جایگاهی هدف و انرژی داخلی که با استفاده از طیف پاسخ سیستم کشسان خمیری یک درجه آزادی معادل به دست می‌آید، تعیین می‌شود.<sup>[۱۲,۱۳]</sup> فرض می‌شود مقدار کار خارجی موردنیاز برای انجام این جایگاهی،  $\gamma$  برابر انرژی

رابطه‌ی ۶،  $\alpha$  از رابطه‌ی ۹ محاسبه می‌شود:

$$\alpha = \left( \sum_{i=1}^n (\beta_i - \beta_{i+1}) \right) \left( \frac{W_n h_n}{\sum_{j=1}^n W_j h_j} \right)^{0.75T^{-0.1}} \cdot \left( \frac{\theta_p \Delta \pi}{T^r g} \right) \quad (9)$$

که در آن،  $\beta_i$  ضریب توزیع برش است، که از رابطه‌ی ۱۰ محاسبه می‌شود:

$$\frac{V_i}{V_n} = \beta_i = \left( \frac{\sum_{j=i}^n W_j h_j}{W_n h_n} \right)^{0.75T^{-0.1}} \quad (10)$$

$\theta_p$  جایه‌جایی خمیری و  $\theta_u$  جایه‌جایی هدف و  $\theta_y$  جایه‌جایی تسلیم است، که از رابطه‌ی ۱۱ به دست می‌آید:

$$\theta_p = \theta_u - \theta_y \quad (11)$$

در روش ذکر شده، نیروی جانبی در طبقه‌ی آخر از معادله‌ی ۱۲ محاسبه می‌شود و توزیع نیروی برشی در ارتفاع به صورت رابطه‌ی ۱۳ در نظر گرفته می‌شود:

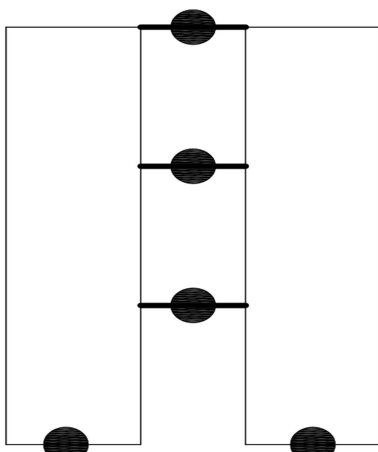
$$F_n = V \left( \frac{W_n h_n}{\sum_{j=1}^n W_j h_j} \right)^{0.75T^{-0.1}} \quad j = 1 \quad (12)$$

$$F_i = (\beta_i - \beta_{i+1}) V_n \quad \text{اگر } \beta_{i+1} = 0 \quad i = n \quad (13)$$

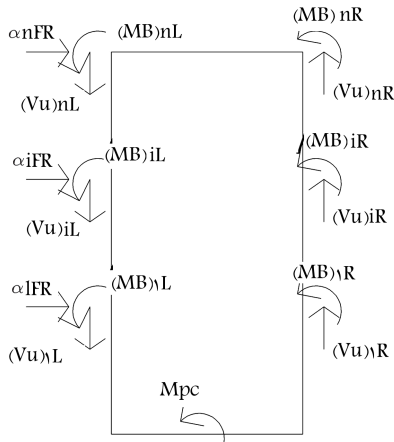
### ۳. دیوارهای برشی همبند

دیوارهای برشی همبند در واقع یک سیستم دوگانه هستند، زیرا بخشی از لنگر واژگونی بارهای جانبی توسط تیرهای همبند و بخش دیگر آن توسط دیوارهای برشی همبند شده تحمل می‌شود. به نسبت لنگر واژگونی تحمل شده توسط تیرهای همبند به سختی تیرهای همبند بستگی دارد. یکی از روش‌های متداول طراحی دیوارهای برشی همبند انتخاب درصد کوبیلینگ و تعیین لنگر واژگونی تحمل شده توسط تیرهای همبند است. با مشخص شدن لنگر واژگونی تحمل شده تیرهای همبند، مقدار برش مجموع تیرهای پیوند حساب می‌شود. با فرض یک توزیع یکنواخت و یا هر توزیع دلخواه دیگر، نیروی برشی هر کدام از تیرهای همبند در طبقات تعیین و سپس طراحی می‌شوند. هر کدام از دیوارهای برشی همبند شده براساس بخشی از لنگر واژگونی، که توسط تیرها تحمل نشده است، و نیروی محوری حاصل از برش تیرهای پیوند طراحی می‌شوند. این روش طراحی متفضن تشکیل مکانیزم مطلوب هنگام تسلیم سازه نیست. مکانیزم مطلوب، تشکیل مفصل‌های خمیری در تیرهای پیوند و در خاتمه، تشکیل مفصل خمیری در پای هر کدام از دیوارهای برشی است.

با توجه به عملکرد مطلوب روش طراحی خمیری براساس عملکرد در قاب‌های خمتشی و مهاربندهای همگرا و واگرا، در این نوشتار این روش بر روی دیوارهای برشی با تیر همبند فلزی ارزیابی می‌شود. برای این منظور سه ساختمان، ۶، ۱۲، ۲۰ طبقه با دیواربرشی همبند انتخاب شده‌اند. این دیوارها به روش PBPD و به کمک آئین‌نامه‌های ACI ۳۱۸ [۲۲] و IBC ۲۰۰۹ [۲۳] طراحی شده‌اند. برای بررسی رفتار غیرخطی و مکانیزم تشکیل مفصل‌ها در دیوارهای برشی همبند از آنالیز با رافزون استفاده شده است.



شکل ۲. مکانیزم تسلیم مطلوب در دیوارهای برشی با تیر همبند فلزی.



شکل ۴. دیاگرام آزاد.

پس از تشکیل مکانیزم تسلیم نیروهای جانبی متعادل با آن ( $F_R$ ), براساس شکل ۴ و با استفاده از رابطه‌ی ۱۸ به دست می‌آید. از این نیروها برای طراحی قسمت‌های کشسان مانند دیوارهای برشی استفاده می‌شود:

$$F_R =$$

$$\frac{\sum_{i=1}^n (V_u)_{iL} * L / 2 + \sum_{i=1}^n (V_u)_{iR} * L / 2 + \sum_{i=1}^n (M_B)_{iL} + \sum_{i=1}^n (M_B)_{iR} + M_{pc}}{\sum_{i=1}^n \alpha_i h_i} \quad (18)$$

که در آن،  $F_R$  نیروی جانبی طراحی دیوار برشی است.  $L$  طول دیوار برشی و  $\alpha$  از رابطه‌ی ۱۹ به دست می‌آید:

$$\alpha = \frac{F_i}{\sum_{i=1}^n F_i} = \frac{(\beta_i - \beta_{i+1})}{\sum_{i=1}^n (\beta_i - \beta_{i+1})} \quad (19)$$

که در آن، برای طبقه‌ی بام ( $i = n$ )  $\beta_{n+1} = 0$  و  $M_{pc} = \beta_n h_n$ . لزگر خمیری دیوار در طبقه‌ی اول است، که سهم آن از مجموع لزگر خمیری پای دیوار به نسبت سختی خمیری آن دیوار به مجموع سختی خمیری دیوارهای آن راستاست (رابطه‌ی ۲۰):

$$M_{pc} = \frac{K_i}{\sum K_i} \sum M_{pc} = \frac{K_i}{\sum K_i} (1 - CR) * \sum F_i h_i \quad (20)$$

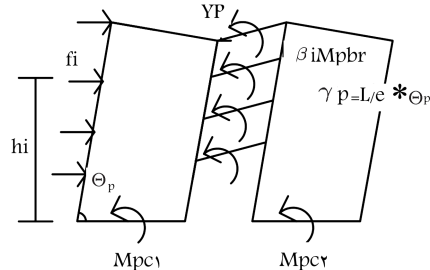
که در آن،  $K_i$  سختی دیوار برشی و  $CR$  درصد کوپلینگ دیوار است.

## ۵. مطالعه‌ی موردنی

برای مطالعه‌ی موردنی، سه ساختمان ۶، ۱۲ و ۲۰ طبقه با پلانی به شکل ۵ انتخاب شده است. این ساختمان‌ها در منطقه با خطر لرزه‌خیزی بالا قرار دارند و خاک آن با توجه به سرعت موج برشی متوسط ( $500 \text{ m/s}$ ) نوع II است.

با توجه به منطقه‌ی لرزه‌خیزی این ساختمان‌ها و نوع خاک آن پارامترهای طراحی قاب به روش طراحی PBPD در جدول ۱ ارائه شده است.

در روش آین نامه برای به دست آوردن برش پایه از مقدار ضریب رفتار استفاده شده است. با انتخاب درصد کوپلینگ به مقدار  $30\%$ ، سهم برش تمام پیوندها به دست می‌آید و سپس با فرض آنکه تمام پیوندها، برش یکسانی را تحمل می‌کنند، با تقسیم



شکل ۳. به دست آوردن بیشینه‌ی لزگر خمیری طراحی در پیوند خمیری.

که در آن،  $M_{pc}$  لزگر خمیری پای دیوار نام،  $n$  تعداد طبقات، و  $m$  تعداد دیوارهای برشی است. لزگر خمیری مورد انتظار پیوند،  $e$  طول پیوند و  $L_i$  فاصله‌ی مرکز تا مرکز دو دیوار برشی مجاور است. با فرض اینکه توزیع لزگر پیوند در ارتفاع مشابه توزیع برش آن در ارتفاع باشد، برای توزیع لزگر در ارتفاع از نسبت  $\beta$  استفاده می‌شود.

$\beta$  نسبت برش طبقه‌ی نام به برش بام است. در حالت تسلیم برشی پیوندها، برش خمیری هر پیوند به طور مشابه با استفاده از تعادل کار داخلی و خارجی محاسبه می‌شود. با فرض آنکه درصد کوپلینگ CR باشد، رابطه‌ی ۱۴ به صورت رابطه‌ی ۱۵ در می‌آید:

$$\beta_i M_{pbr} = \beta_i \frac{\sum_{i=1}^n F_i h_i}{\left( \sum_{i=1}^n L_i \beta_i / e_i + (1/CR - 1) \sum_{i=1}^n \beta_i \right)} \quad (15)$$

مقطع پیوند با توجه به مکانیزم تسلیم پیوند به صورت پیوند برشی یا پیوند خمیری از ضوابط مربوط به دست می‌آید. مکانیزم تسلیم پیوند به طول و مقطع آن وابسته است، که تابعی از ظرفیت خشی، ظرفیت برش، و کرنش سخت‌شوندگی است. اگر در پیوند، رابطه‌ی  $\frac{1.6 M_P}{V_P} \leq e$  برقرار باشد، تسلیم در پیوند برشی است و اگر رابطه‌ی  $\frac{2.6 M_P}{V_P} \geq e$  برقرار باشد، تسلیم پیوند خمیری است. در این روابط  $e$  طول پیوند است.

با توجه به آنکه در این نوشتار تمام عملکرد غیرکشسان در تیر پیوند و مفصل پای دیوار برشی محدود می‌شود و عضوهای دیگر باید کشسان باقی بمانند، طراحی عضوهای خارج از پیوند با استفاده از بیشینه‌ی نیروی مورد انتظار در پیوند و پای دیوار برشی صورت می‌گیرد. برای طراحی دیوارهای برشی، دیاگرام آزاد به شکل ۴ پیشنهاد می‌شود که در آن، بیشینه‌ی برش مورد انتظار در پیوند،  $M_B$  بیشینه‌ی لزگر انتهایی پیوند است. اگر تسلیم پیوند به صورت برشی باشد، مقدار بیشینه‌ی برش در پیوند از معادله‌ی ۱۶ و لزگر دو سر پیوند از رابطه‌ی تعادل به شکل  $M_B = \frac{V_U * e}{1.2}$  به دست می‌آید. همچنین اگر تسلیم پیوند به صورت خمیری باشد، لزگر خمیری بیشینه‌ی مورد انتظار دو سر پیوند از رابطه‌ی ۱۷ و برش پیوند از تعادل آن به صورت  $V_U = \frac{e M_B}{1.2}$  تعیین خواهد شد.

$$V_u = 1.1 R_y V_p \quad (16)$$

$$M_B = 1.1 R_y M_p \quad (17)$$

که در آن‌ها،  $M_P = Z F_y (d_b - 2t_f) t_w = 0.6 F_y (d_b - 2t_f) t_w$ ،  $Z$  مدول مقطع خمیری است. مقدار  $R_y$  نسبت تنش تسلیم مورد انتظار به کمینه‌ی تنش تسلیم موردنظر است.

برش کل پیوندها بر تعداد آن‌ها برش هر پیوند به دست می‌آید و از روابط مربوط، مقطع پیوند طراحی می‌شود. پس از آن با حذف پیوندها و قراردادن نیروهای پیوند به جای آنها در قاب، سایر اعضا طراحی می‌شوند.<sup>[۲۵]</sup> جدول ۲، مشخصات دیوار در شیوه ۱۲ طبقه‌ی طراحی شده از طبقه روشن، معمول را نشان می‌دهد.

پس از به دست آوردن برش پایه، با استفاده از روش توزیع نیروی جدید و روش معمول، نیروی جانی در هر طبقه به دست می‌آید. با مقایسه‌ی مقدار برش پایه در دو روش مختلف مشاهده می‌شود که برش در سازه‌ی طراحی شده به روش معمول به مراتب بیشتر از سازه‌ی طراحی شده به روش PBPD است.

پس از محاسبه‌ی نیروی جانبی در روش PBPD با توجه به نوع تسیلیم مورد انتظار پیوند، مقطع آن در هر طبقه به دست می‌آید. در پیوندهای خمشی با استفاده از رابطه‌های ۱۴ و ۱۷، مدول مقطع خمیری پیوند به دست می‌آید. جدول ۳، مقطع موردنیاز برای پیوندها را در قاب طراحی شده به روش PBPD و روش معمول با هم مقایسه می‌کند. از جدول مذکور مشاهده می‌شود که با توجه به اینکه در سازه‌ی طراحی شده به روش معمول برای تمام طبقه‌ها یک مقطع پیوند انتخاب می‌شود، این مقطع بزرگ است؛ ولی در سازه‌ی طراحی شده به روش PBPD، مقطع در هر طبقه با توجه به مکانیزم تسیلیم مطلوب متفاوت است و این باعث اقتصادی تر شدن پیوندها در روش PBPD می‌شود. با توجه به تفاوتی که در مقطع پیوند در سازه‌های طراحی شده به دو روش وجود دارد و تسیلیم در پیوند به مقطع و طول آن بستگی دارد، مکانیزم تسیلیم در این دو سازه متفاوت است. در سازه‌ی طراحی شده به روش PBPD، مکانیزم تسیلیم پیوند خمشی است؛ ولی در سازه‌ی طراحی شده به روش آسین‌نامه، مکانیزم تسیلیم پیوند در پیش، است.

پس از طراحی پیوندها در طبقه‌های مختلف در قاب PBPD، با توجه به بحث قبل و نوع تسیلیم پیوند ( $M_B$ ) و ( $V_u$ ) برای هر طبقه به دست می‌آید. سپس مقدار  $F_R$  از معادله ۱۸ محاسبه می‌شود. جدول ۴ این مقادیر را برای قاب‌های PBPD، ۱۲ طبقه نشان می‌دهد.

در روشن PBPD پس از محاسبه‌ی پارامترهای موردنیاز طراحی مقاطع خارج از پیوند با اعمال<sub>i</sub> ( $M_B$ ) و ( $V_u$ ) و ( $\alpha_i F_R$ ) به دیاگرام آزاد شکل ۲، مقاطع خارج از پیوند طراحی می‌شوند. مشخصات دیوار برشی طراحی شده توسط روش PBPD در جدول ۵ آنچه شده است.


<sup>۲۴</sup> شکل ۵. بلاز قاب‌های مورد استفاده.

جدول ۱. بارامترهای طراحی، روش PBPD قاب ۱۲ طبقه.

پارامتر	مقدار
وزن کل سازه	۹۵۵۸۷
برش پایه‌ی بددست آمده از آئینه نامه	۹۶۸۶۳
$Cs = v/w$	٪ ۱۰ ۱
$Ce$	٪ ۶۰ ۸
جابهه‌جایی تسلیم $\theta_y$	٪ ۱۰ ۵
جابهه‌جایی هدف $\theta_u$	٪ ۱۰ ۲
$\mu_s$	٪
$R_\mu$	٪
$G$	٪ ۴۳ ۸
$A$	٪ ۲۷ ۱
$v/w$	٪ ۰ ۴۹
برش پایه‌ی روش نوشتار حاضر $(kgf)$	۹۶۵۶۳

[۲۴] . ۲. مشخصات دیوارش، ۱۲ طبقه‌ی طراحی شده از طبقه روشن معمولی.

طبقه	ضخامت دیوار (cm)	میلگرد سراسری (mm)	فاصله‌ی میلگرد سراسری (cm)	میلگرد در جزء مرزی (mm)	تعداد میلگرد در جزء مرزی (mm)
۱۲	۳۵	۱۲	۲۵	۲۸	۳۶
۱۱	۳۵	۱۲	۲۵	۲۸	۳۶
۱۰	۳۵	۱۲	۲۵	۲۸	۳۶
۹	۳۵	۱۲	۲۵	۲۸	۳۶
۸	۳۵	۱۲	۲۵	۲۸	۲۵
۷	۳۵	۱۲	۲۵	۲۸	۲۵
۶	۳۵	۱۲	۲۵	۲۸	۲۵
۵	۳۵	۱۲	۲۵	۲۸	۲۵
۴	۳۵	۱۲	۲۵	۲۸	۱۰
۳	۳۵	۱۲	۲۵	۲۸	۱۰
۲	۳۵	۱۲	۲۵	۲۸	۱۰
۱	۳۵	۱۲	۲۵	۲۸	۱۰

جدول ۳. مقطع موردنیاز پیوند در دو روش ذکر شده در قاب ۱۲ طبقه.

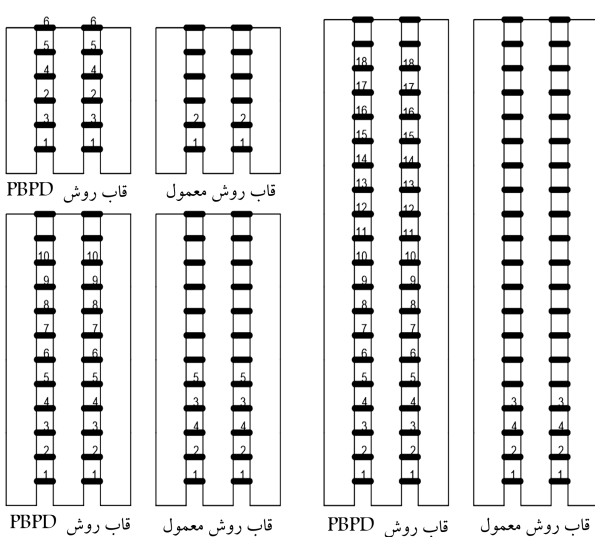
(cm) PBPD	روش				روش معمول (cm)				طبقه
	d	tw	b	tf	d	tw	b	tf	
۱۶	۰,۵	۸	۰,۷۴		۲۶,۴	۰,۸	۱۶,۵	۲,۵	۱۲
۲۲	۰,۵۹	۱۱	۰,۹۲		۲۶,۴	۰,۸	۱۶,۵	۲,۵	۱۱
۲۴	۰,۶۲	۱۲	۰,۹۸		۲۶,۴	۰,۸	۱۶,۵	۲,۵	۱۰
۲۷	۰,۶۶	۱۳,۵	۱,۰۲		۲۶,۴	۰,۸	۱۶,۵	۲,۵	۹
۲۷	۰,۶۶	۱۳,۵	۱,۰۲		۲۶,۴	۰,۸	۱۶,۵	۲,۵	۸
۳۰	۰,۷۱	۱۵	۱,۰۷		۲۶,۴	۰,۸	۱۶,۵	۲,۵	۷
۳۰	۰,۷۱	۱۵	۱,۰۷		۲۶,۴	۰,۸	۱۶,۵	۲,۵	۶
۳۰	۰,۷۱	۱۵	۱,۰۷		۲۶,۴	۰,۸	۱۶,۵	۲,۵	۵
۳۳	۰,۷۵	۱۶	۱,۱۵		۲۶,۴	۰,۸	۱۶,۵	۲,۵	۴
۳۳	۰,۷۵	۱۶	۱,۱۵		۲۶,۴	۰,۸	۱۶,۵	۲,۵	۳
۳۳	۰,۷۵	۱۶	۱,۱۵		۲۶,۴	۰,۸	۱۶,۵	۲,۵	۲
۳۳	۰,۷۵	۱۶	۱,۱۵		۲۶,۴	۰,۸	۱۶,۵	۲,۵	۱

جدول ۴. محاسبه‌ی پارامترهای موردنیاز برای طراحی دیوار برشی کناری قاب ۱۲، PBPD

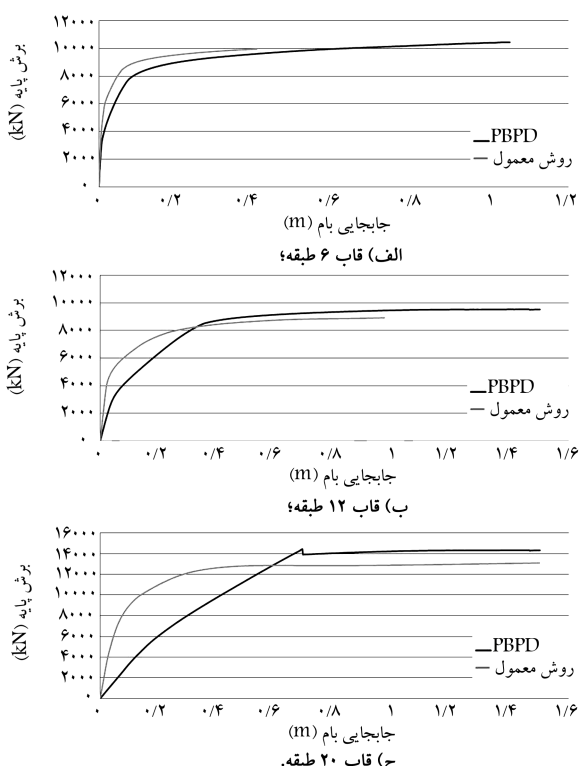
V <sub>u</sub> (kg)	M <sub>B</sub> (kg - cm)	α <sub>i</sub> F <sub>R</sub> (kg)	طبقه
۵۰۰,۱/۳۳	۳۷۵۱۰۰,۰۰	۷۴۹۸,۶۵	۱۲
۱۱۴۹۵,۰۰	۸۶۲۱۲۵,۰۰	۷۷۷۵,۹۰	۱۱
۱۴۸۰,۲/۳۳	۱۱۱۰۱۷۵,۰۰	۵۹۵۹,۳۱	۱۰
۱۹۵۲۱,۲۳	۱۴۶۴۱۰۰,۰۰	۴۸۹۵,۲۲	۹
۱۹۵۲۱,۳۳	۱۴۶۴۱۰۰,۰۰	۴۱۰,۱۰۳	۸
۲۵۳۲۹,۲۳	۱۸۹۹۷۰۰,۰۰	۳۴۴۴,۷۸	۷
۲۵۳۲۹,۳۳	۱۸۹۹۷۰۰,۰۰	۲۸۷۰,۸۴	۶
۲۵۳۲۹,۳۳	۱۸۹۹۷۰۰,۰۰	۲۳۵۰,۳۰	۵
۳۲۴۲۸,۰۰	۲۴۳۲۱۰۰,۰۰	۱۸۶۵,۹۸	۴
۳۲۴۲۸,۰۰	۲۴۳۲۱۰۰,۰۰	۱۴۰,۶۶۴	۳
۳۲۴۲۸,۰۰	۲۴۳۲۱۰۰,۰۰	۹۶۴,۲۹	۲
۳۲۴۲۸,۰۰	۲۴۳۲۱۰۰,۰۰	۵۹۱,۲۴	۱

جدول ۵. مشخصات دیوار برشی ۱۲ طبقه‌ی طراحی شده از طریق روش PBPD.

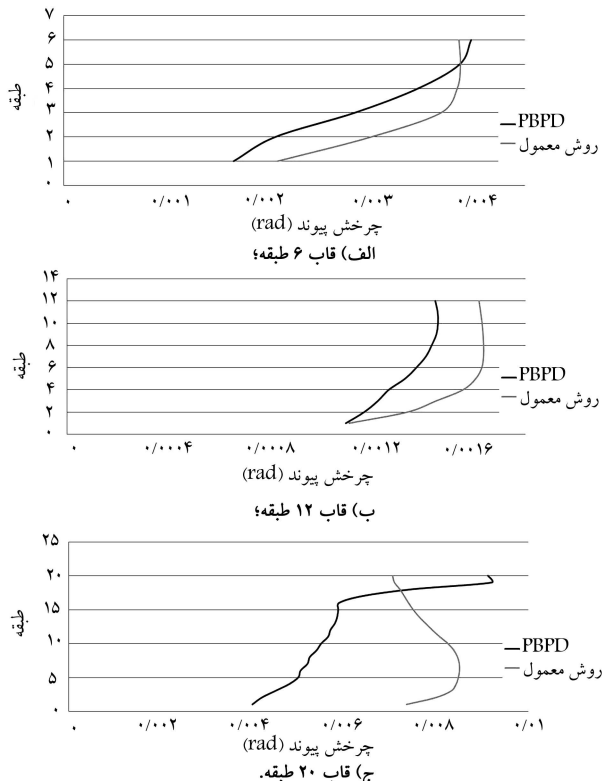
طبقه (cm)	ضخامت دیوار (mm)	فاصله‌ی میلگرد (cm)	طبقه
۲۰	۲۰	۳۵	۱۲
۲۰	۲۰	۳۵	۱۱
۲۰	۲۰	۳۵	۱۰
۲۰	۲۰	۳۵	۹
۳۰	۱۶	۳۵	۸
۳۰	۱۶	۳۵	۷
۳۰	۱۶	۳۵	۶
۳۰	۱۶	۳۵	۵
۳۵	۱۴	۳۵	۴
۳۵	۱۴	۳۵	۳
۳۵	۱۴	۳۵	۲
۳۵	۱۴	۳۵	۱



شکل ۶. مقایسه‌ی ترتیب تشکیل مفصل‌های پیوندی در دو قاب ۶ طبقه.



شکل ۷. مقایسه‌ی نمودار برش پایه - جابه‌جایی بام در دو قاب طراحی شده به دو روش مختلف.



شکل ۸. مقایسه‌ی چرخش خمیری پیوند در نقطه‌ی عملکرد دو قاب طراحی شده به دو روش مختلف.

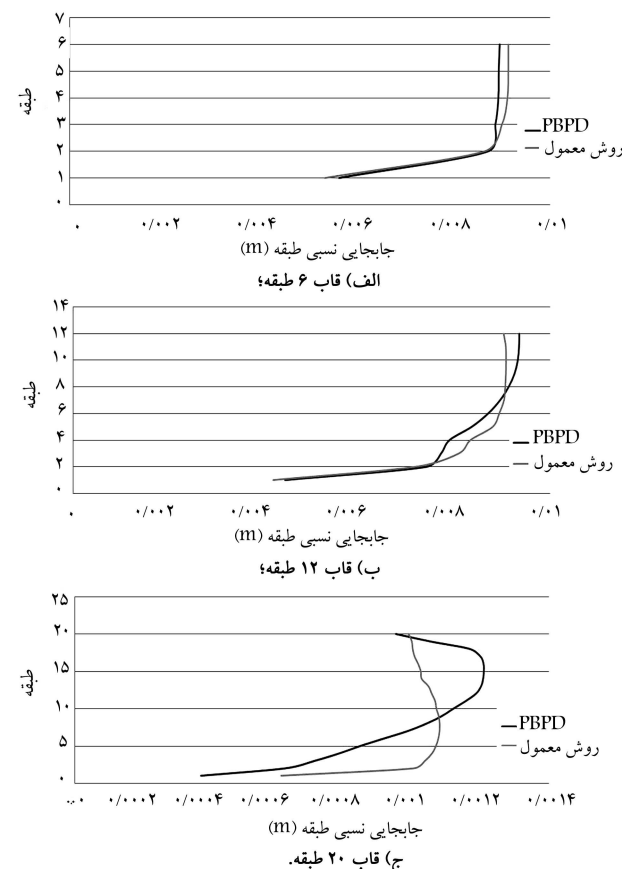
منحنی پوش سازه برای ۳ قاب ۶، ۱۲ و ۲۰ طبقه که توسط دو روش معمول و PBPD طراحی شده‌اند، در شکل ۷ با هم مقایسه شده‌اند. منحنی برش پایه - جابه‌جایی بام سازه‌ی طراحی شده به روش PBPD نسبت به منحنی برش پایه - جابه‌جایی بام سازه‌ی طراحی شده به روش معمول، شبی اولیه‌ی کمتری دارد؛ و روند افزایش تغییرمکان نسبت به افزایش بار باشد بیشتری نسبت به سازه‌های معمول انجام می‌شود. با وجود این مقدار ظرفیت باربری نهایی سازه‌ی PBPD، که در آن گسیختگی اتفاق افتاده است، از مقدار نظری در سازه‌ی معمولی بیشتر است. به عنوان مثال، برش در نقطه‌ی گسیختگی منحنی برش پایه - جابه‌جایی بام برای قاب ۱۲ طبقه PBPD ۹۵۰ کیلونیوتن و در قاب ۱۲ طبقه معمول ۸۷۵ کیلونیوتن است. این دو مسئله بیان‌گر شکل بذیری بیشتر سازه‌ی طراحی شده به روش PBPD نسبت به سازه‌ی طراحی شده به روش معمول است. میزان جذب انرژی در دو سازه، که برابر با سطح زیر منحنی برش پایه - جابه‌جایی بام است، در سازه‌ی PBPD به مرتب بیشتر از سازه‌ی معمول است، که بیان‌گر رفتار بهتر سازه در زلزله است. مطابق شکل مذکور مشاهده می‌شود که قاب طراحی شده به روش معمول به دلیل تخریب در بعضی از اعضاء آن قادر به رسیدن به جابه‌جایی هدف نیست، در حالی که سازه‌ی طراحی شده به روش PBPD تا جابه‌جایی هدف پوشیده شده است. این مسئله نشان می‌دهد که سازه‌ی PBPD توانایی رسیدن به جابه‌جایی بیشتری را دارد.

همان‌طور که در ابتدا گفته شده است، در روش PBPD قبل از طراحی، مکانیزم تسلیم و جابه‌جایی هدف تعیین می‌شوند. از نتایج آنالیز پوش آور مشاهده شده است که سازه‌ی PBPD به مکانیزم تسلیم موردنظر و جابه‌جایی هدف خواهد رسید.

پس از به دست آوردن منحنی برش پایه - جابه‌جایی بام با استفاده از زلزله‌ی طرح، نقطه‌ی عملکرد برای هر قاب بدست می‌آید. شکل ۸، چرخش پیوند در نقطه‌ی عملکرد برای دو سازه‌ی طراحی شده به دو روش متفاوت را نشان می‌دهد، که مطابق آن چرخش پیوند در سازه‌ی طراحی شده به روش PBPD در حد مجاز و توزیع آن در ارتفاع یکنواخت است. یکنواختی چرخش پیوند در ارتفاع، نمایان‌گر توزیع مطلوب نیروهای پیوند در ارتفاع و رفتار قابل پیش‌بینی برای سازه است. زیرا با وجود اختلاف در نیروها و مقطع پیوند در ارتفاع، رفتار آن‌ها در برابر زلزله یکسان و پیوندها به صورت بهینه طراحی شده‌اند.

در سازه‌ی طراحی شده به روش آینه‌نامه، توزیع چرخش پیوند در ارتفاع غیریکنواخت است، که نشان‌دهنده‌ی غیرمناسب بودن طراحی پیوندهاست. برای مثال چرخش پیوند بام در نقطه‌ی عملکرد قاب ۱۲ طبقه‌ی PBPD، ۰.۴۵ رادیان و این مقدار برای قاب ۱۲ طبقه با روش معمول ۰.۱۶۲ رادیان است.

در شکل ۹، مقایسه‌ی بیشینه‌ی جابه‌جایی نسی طبقات در سازه‌ی طراحی شده به دو روش متفاوت نشان داده شده است. مطابق شکل مذکور مشاهده می‌شود که در سازه‌ی طراحی شده به روش PBPD برخلاف سازه‌ی طراحی شده به روش آینه‌نامه، بیشینه‌ی جابه‌جایی نسبی طبقات به‌طور یکنواخت در ارتفاع توزیع شده است. یکنواخت توزیع شدن جابه‌جایی نسبی در طبقات در نتیجه‌ی طراحی مناسب و بهینه‌ی اعضاست، به‌طوری که از تام ظرفیت مقاطع در هنگام زلزله‌ی طرح به‌طور یکنواخت استفاده می‌شود. برای مثال جابه‌جایی بام در نقطه‌ی عملکرد قاب ۱۲ طبقه PBPD ۰.۳۷ سانتی‌متر و این مقدار برای قاب ۱۲ طبقه با روش معمول، ۰.۷۷ سانتی‌متر است.



شکل ۹. مقایسه ای جابه جایی نسبی بین طبقه ها در نقطه های عملکرد دو قاب طراحی شده به دو روش مختلف.

## ۷. نتیجه گیری

با طراحی سازه ها به دو روش PBPD و روش معمول و ارزیابی رفتار غیرخطی سازه های طراحی شده، این نتایج به دست آمده است:

۱. قاب در سازه های طراحی شده به روش PBPD به مکانیزم تسلیمی از قبل انتخاب شده می رسد و روند تسلیم پیوند به صورت منظم از پایین به بالاست، در حالی که در سازه های طراحی شده به روش معمول، مکانیزم تسلیم از قبل قابل پیش یابی نیست و تسلیم به طور منظم اتفاق نمی افتد.

۲. منحنی برش پایه - جابه جایی بام در سازه های طراحی شده به روش PBPD نسبت به سازه های طراحی شده به روش معمول، شبکه اولیه کمتری دارد، ولی حد نهایی آن بیشتر است. همچنین سازه، شکل پذیری بیشتری دارد و در برابر زلزله میزان جذب انرژی بیشتری دارد. با وجود آنکه مقطع پیوندها در روش PBPD نسبت به روش معمول کوچک تر است؛ ولی در روش PBPD، از ظرفیت تمام مقاطع استفاده و طراحی از طریق آن، به صورت بهینه است.

۳. جابه جایی نسبی طبقات نقطه های عملکرد در سازه های طراحی شده به روش PBPD نسبت به سازه های معمولی به طور یکنواخت تر در ارتفاع توزیع شده و در حد مجاز است. بیشینه ای جابه جایی نسبی بام در نقطه های عملکرد در روش PBPD، ۹/۳۷ سانتی متر و در روش معمول، ۸/۷۷ سانتی متر است.

۴. چرخش پیوندها در نقطه های عملکرد در سازه های طراحی شده به روش PBPD در حد مجاز و توزیع آن در ارتفاع یکنواخت است. بیشینه ای چرخش پیوند نقطه های عملکرد در روش PBPD، ۱۴۵ درجه در روش معمول، ۱۶۲ درجه رادیان است، که کمی از روش PBPD بزرگ تر است.

## پانوشت ها

1. moment resistant frame
2. performance based plastic design
3. eccentrically braced frame
4. eccentrically braced frame with horizontal link
5. eccentrically braced frame with vertical link

## منابع (References)

1. Leelataviwat, S., Goel, S.C. and Stojadinović, B. "Toward performance-based seismic design of structures", *Earthquake Spectra*, **15**(3), pp. 435-461 (1999).
2. Leelataviwat, S., Saewon, W. and Goel, S.C. "An energy based method for seismic evaluation of structures", *In Proceedings of Structural Engineers Association of California Convention*, SEAOC 2007, Lake Tahoe, CA (26-29 September 2007).
3. Lee, S.S. and Goel, S.C., *Performance-Based Design of Steel Moment Frames Using Target Drift and Yield Mechanism*, Report No. UMCEE 01-17, Department of Civil and Environmental Engineering, University of Michigan, Ann Arbor, MI (2001).
4. Dasgupta, P., Goel, S.C. and Parra-Montesinos, G. "Performance-based seismic design and behavior of a composite buckling restrained braced frame (BRBF)", *In Proceedings of 13th World Conference on Earthquake Engineering* (2004).
5. Chao, S.H. and Goel, S.C. "Performance-based design of eccentrically braced frames using target drift and yield mechanism", *AISC Engineering Journal Third Quarter*, pp. 173-200 (2006).
6. Chao, S.H. and Goel, S.C. "A seismic design method for steel concentric braced frames for enhanced performance", *4th International Conference on Earthquake Engineering*, Taipei, Taiwan (12-13 October 2006).
7. Goel, S.C. and Chao, S.H., *Performance-Based Plastic Design: Earthquake Resistant Steel Structures*, International Code Council, Washington, DC (2008).

8. Chao, S.H., Goel, S.C. and Lee, S-S "A seismic design lateral force distribution based on inelastic state of structures", *Earthquake Spectra*, **23**(3), pp. 547-569 (2007).
9. Chao, S.H. and Goel, S.C. "Performance-based plastic design of seismic resistant special truss moment frames", *AISC Engineering Journal Second Quarter*, pp. 127-150 (2008).
10. Housner, G.W. "Limit design of structures to resist earthquakes", In *Proceedings of First World Conference on Earthquake Engineering*, Earthquake Engineering Research Institute, Berkeley, CA, Part 5, pp. 1-11 (June 1956).
11. Roeder, C.W. and Popov, E.P., *Inelastic Behavior of Eccentrically Braced Steel Frames Under Cyclic Loadings*, Report No. UCB/EERC-77/18, Earthquake Engineering Research Center, University of California at Berkeley (1977).
12. Leelataviwat, S., Goel, S.C. and Stojadinović, B., *Drift and Yield Mechanism Based Seismic Design and Upgrading of Steel Moment Frames*, Report No. UMCEE 98-29, Department of Civil and Environmental Engineering, University of Michigan, Ann Arbor (1977).
13. Chao, S.H. and Goel, S.C., *Performance-Based Seismic Design of EBF Using Target Drift and Yield Mechanism as Performance Criteria*, Report No. UMCEE 05-05, Department of Civil and Environmental Engineering, University of Michigan, Ann Arbor, MI (2005).
14. Chao, S.H. and Goel, S.C. "Performance based seismic design of special truss moment frames", *4th International Conference on Earthquake Engineering*, Taipei, Taiwanm (12-13 October 2006).
15. Shayanfar, M.A., Rezaeian, A.R. and Zanganeh, A. "Seismic performance of eccentrically braced frame with vertical link using PBPD method", *The Structural Design of Tall and Special Buildings*, **23**(1), pp. 1-21 (2012).
16. Paulay, T. and Priestley, M.J.N., *Seismic Design of Reinforced concrete and Masonry*, John Wiley & Sons (1971).
17. Paulay, T. and Santhakumar, A.R. "Ductile behavior of coupled shear walls", *ASCE Journal of the Structural Division*, **102**(1), pp. 93-108 (1976).
18. Paulay, T, Coupling beams. Frein Forced Concrece shear walls, *Proceeding. fa workshop on earthquake - resistant reinforced concrete building construction*, University of California, Berkeley, 1452-1962 , (in Persian) (1977).
19. Subedi, N.K. "RC-coupled shear wall structures. I: Analysis of coupling beams", *Structural Engineering*, **117**(3), pp. 667-680 (1991).
20. Chaallal, O., Gauthier, D. and Malenfant, P. "Classification methodology for coupled shear walls", *Structural Engineering*, **122**(12), pp. 1453-1458 (1996).
21. Harries, K.A. "Seismic design and retrofit of coupled walls using structural steel", McGill University, PhD Thesis (1995).
22. AISC, *Seismic Provisions for Structural Steel Buildings*, American Institute of Steel Construction, Chicago, Illinois (2005).
23. *International Building Code*, A member of the Internationally Code Family, IBC (2009).
24. Hull, D.H. and Harries, K.A. "On the applicability of fixed point theory to the behavior of coupled core walls", *International Journal of Structural Stability and Dynamics*, **8**(1), pp. 161-186 (March 2008).
25. Daneshvar, M.H., "Reduction factor in couple shear wall with steel beam", MS thesis, Ferdowsi University of Mashad (2013).